

รูปแบบก้มมั่นตภาพของ เว็นไซม์อเชทิลโรคสินເອສເຕວເຮສານชິນເນື້ອລາໄສ້າຫຼູງຂອງ  
ເຕັກທີ່ໄດ້ຮັບການວິນິຈັນຍໍວ່າເມີນຮົກເຂີສປຽງ ໃນຊ່ວງອາຍຸຕັ້ງແຕ່ແຮກເກີດຈົນສຶ່ງ 3 ປີ



นายพูลลาภ ชีพสุนทร

## ศูนย์วิทยทรัพยากร

วิทยานิพนธ์นี้ เป็นส่วนหนึ่งของการศึกษาตามหลักสูตรบริษัทวิทยาศาสตรมหาบัณฑิต

สาขาวิชาวิทยาศาสตรการแพทย์

บัณฑิตวิทยาลัย จุฬาลงกรณ์มหาวิทยาลัย

พ.ศ. 2536

ISBN 974-582-773-8

ลิขสิทธิ์ของบัณฑิตวิทยาลัย จุฬาลงกรณ์มหาวิทยาลัย

019422 ๑๗๘๙๐๔๓๑

PATTERN OF ACETYLCHOLINESTERASE ACTIVITY IN SUCTION RECTAL  
BIOPSY OF NEWBORN TO 3 YEAR OLD CHILDREN WITH  
HIRSCHSPRUNG'S DISEASE



MR. POONLARP CHEEPSUNTHORN

A Thesis Submitted in Partial Fulfillment of the Requirements  
for the Degree of Master of Science

Department of Medical Science

Graduate School

Chulalongkorn University

1993

ISBN 974-582-773-8

หัวขอวิทยานิพนธ์

รูปแบบกันมั่นภาพของ เอ็นไซม์อ เชทิลคลินເວສເຕອເຮສານ

ชื่นเนื้อหาเช่นเดียวกับที่ได้รับการวินิจฉัยว่าเป็นโรค

เอดส์ในช่วงอายุตั้งแต่แรกเกิดจนถึง 3 ปี

โดย

นายพูลลาภ ชีพสุนทร

สาขาวิชา

วิทยาศาสตร์การแพทย์

อาจารย์ที่ปรึกษา

รองศาสตราจารย์ พญ. วิไล ชินชนะ

อาจารย์ที่ปรึกษาร่วม

รองศาสตราจารย์ นพ. สุทธิพร จิตต์มิตรภาพ



บัณฑิตวิทยาลัย จุฬาลงกรณ์มหาวิทยาลัย อนุมัติให้นับวิทยานิพนธ์ฉบับนี้เป็น<sup>.....</sup>  
ส่วนหนึ่งของการศึกษาตามหลักสูตร ปริญญามหาบัณฑิต

..... คณบดีบัณฑิตวิทยาลัย  
(ศาสตราจารย์ ดร. ภาวร วัชราภัย)

คณะกรรมการสอบวิทยานิพนธ์

..... ประธานกรรมการ  
(รองศาสตราจารย์ พญ. บังอร ชมเดช)

..... ที่ปรึกษาวิทยานิพนธ์  
(รองศาสตราจารย์ พญ. วิไล ชินชนะ)

..... ที่ปรึกษาร่วม  
(รองศาสตราจารย์ นพ. สุทธิพร จิตต์มิตรภาพ)

..... กรรมการ  
(ศาสตราจารย์ นพ. มีชัย ศรีไส)

..... กรรมการ  
(รองศาสตราจารย์ ดร. راتนา ศุขธรรม)

พิมพ์ด้นฉบับที่จัดทำโดยศูนย์วิจัยฯ ภายในกรอบสีเขียวนี้เพียงแผ่นเดียว

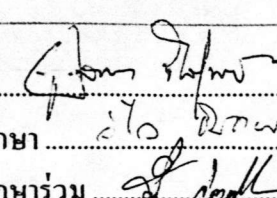
พูลлага ชีพสุนทร : รูปแบบกัมมันตภาพของเอ็นไซม์เชลโคลินเอสเตอเรสในขันเนื้อ  
ลำไส้ใหญ่ของเด็กที่ได้รับการวินิจฉัยว่าเป็นโรคไฮร์ชสปริง ในช่วงอายุตั้งแต่แรกเกิดจนถึง  
3 ปี (PATTERN OF ACETYLCHOLINESTERASE ACTIVITY IN SUCTION RECTAL  
BIOPSY OF NEWBORN TO 3 YEAR OLD CHILDREN WITH HIRSCHSPRUNG'S  
DISEASE)

อาจารย์ที่ปรึกษา : รศ.พญ. วีไล ชินธเนศ รศ.นพ. สุทธิพร จิตต์มิตรภาพ.  
93 หน้า ISBN 974-582-773-8

ได้ทำการวิจัยเพื่อหารูปแบบของ Acetylcholinesterase (AChE) activity  
ในขันเนื้อลำไส้ใหญ่ของเด็กที่เป็นโรค Hirschsprung (HD) ที่มีอายุตั้งแต่แรกเกิดจนถึง 3 ปี โดยแบ่ง  
ออกเป็น 3 กลุ่มช่วงอายุ คือ ตั้งแต่แรกเกิดจนถึง 1 เดือน 1 เดือนจนถึง 6 เดือน และ 6 เดือน  
จนถึง 3 ปี โดยมีระยะเวลาในการเก็บตัวอย่าง 1 ปี คือ ตั้งแต่ มกราคม 2535 ถึง มีนาคม 2535  
จากผลการวิจัยพบว่า ในกลุ่มที่มีอายุน้อยกว่า 1 เดือน พบรากเพิ่มขึ้นของ AChE activity เพียง  
ขั้นเดียวโดยจะพบ thick nerve trunk ในขัน submucosa ในกลุ่มที่มีอายุตั้งแต่ 1 เดือนจนถึง  
6 เดือน พบรากเพิ่มขึ้นของ AChE activity โดยจะพบเป็น fine หรือ coarse nerve fibers  
ในขัน lamina propria, muscularis mucosae และ thick nerve trunk ในขัน submucosa  
และในกลุ่มที่มีอายุตั้งแต่ 6 เดือน จนถึง 3 ปี พบราก AChE activity เพิ่มขึ้นมากโดยจะพบ coarse  
nerve fibers ตลอดขัน lamina propria, muscularis mucosae และ thick nerve trunk  
ในขัน submucosa จากผลดังกล่าวสามารถสรุปได้ว่ารูปแบบของ AChE activity ในผู้ป่วย HD ที่มี  
อายุมากกว่า 1 เดือน มีรูปแบบที่ไม่แน่นอน แต่อย่างไรก็ตามพบว่า ผู้ป่วย 19 รายจากผู้ป่วยทั้งหมด  
21 ราย (คิดเป็น 90.5%) จะพบ thick nerve trunk ในขัน submucosa



ภาควิชา วิทยาศาสตร์การแพทย์  
สาขาวิชา วิทยาศาสตร์การแพทย์  
ปีการศึกษา 2536

ลายมือชื่อนักศึกษา .....  
ลายมือชื่ออาจารย์ที่ปรึกษา .....  
ลายมือชื่ออาจารย์ที่ปรึกษาร่วม .....  


พิมพ์ดันฉบับปกด้วยอวิทยานิพนธ์ภายในกรอบสีเขียวเพื่อจะแผ่นเดียว

# # C345063 : MAJOR MEDICAL SCIENCE

KEY WORD: ACETYLCHOLINESTERASE (AChE) ACTIVITY / SUCTION RECTAL BIOPSY /

HIRSCHSPRUNG'S DISEASE (HD)

POONLARP CHEEPSUNTHORN : PATTERN OF ACETYLCHOLINESTERASE ACTIVITY

IN SUCTION RECTAL BIOPSY OF NEWBORN TO 3 YEAR OLD CHILDREN WITH

HIRSCHSPRUNG'S DISEASE. THESIS ADVISOR ASS. PROF. VILAI CHENTANEZ,

PhD. ASS. PROF. SOOTTIPORN CHITMITTRAPAP, PhD. 93 pp.

ISBN 974-582-773-8

The reliable Acetylcholinesterase (AChE)- stained method was used to find the pattern of AChE activity in rectal suction biopsies of newborn to 3 year old children with Hirschsprung's disease (HD). They were divided in 3 age groups : newborn to 1 month, from 1 month to 6 months, and from 6 months to 3 years. The patient collection had occurred through the year of 1992. From this research, in less than 1 month patients, we found only thick nerve trunks in submucosa. From 1 month to 6 month patients, the AChE activity increased in all layers. Fine or coarser nerve fibers were found in lamina propria , muscularis mucosae, and thick nerve trunk in submucosa. In the third group, more coarse nerve fibers were found in all layers. But in 2 cases, only thick nerve trunks in submucosa were seen. We concluded that, there was no unique pattern of AChE activity in patients older than 1 month, but 90.5 % (19 from 21 cases) thick nerve trunk occurred in submucosal layer.



ภาควิชา MEDICAL SCIENCE

ลายมือชื่อนิสิต

สาขาวิชา MEDICAL SCIENCE

ลายมือชื่ออาจารย์ที่ปรึกษา

ปีการศึกษา 1993

ลายมือชื่ออาจารย์ที่ปรึกษาร่วม

## กิตติกรรมประกาศ

วิทยานิพนธ์ฉบับนี้ได้สาเร็จอุส่วงไบด้วยความกรุณา และความช่วยเหลือ  
อย่างดีเยี่ยมจาก รองศาสตราจารย์ พญ. วิล ชินเนศ รองศาสตราจารย์ นพ.  
สุทธิพร จิตต์มิตรภาพ อาจารย์ที่ปรึกษาวิทยานิพนธ์และอาจารย์ที่ปรึกษาวิทยานิพนธ์  
รวม ที่ได้กรุณาให้คำแนะนำ และเสนอแนะข้อคิดเห็นที่เป็นประโยชน์ รวมทั้งช่วย  
ตรวจสอบแก้ไขข้อบกพร่องต่าง ๆ และสนับสนุนให้กำลังใจแก่ผู้วิจัยมาโดยตลอด  
ผู้วิจัยรู้สึก抓狂ทันทีและประทับใจในความกรุณาของท่านเป็นอย่างยิ่ง จึงขอกราบขอบคุณ  
พระคุณเป็นอย่างสูงไว้ ณ โอกาสนี้ และขอกราบขอบพระคุณ ศาสตราจารย์ นพ.  
มีชัย ศรีไส รองศาสตราจารย์ พญ. บังอร ชมเดช รองศาสตราจารย์ ดร.  
راتรี สุดทรง กรรมการอ่านวิทยานิพนธ์ที่ได้กรุณาให้ คำแนะนำ และข้อคิดเห็น  
ที่เป็นประโยชน์ต่องานวิจัยครั้งนี้เป็นอย่างยิ่ง

ผู้วิจัยขอขอบคุณ คุณบังอร ฉางทรัพย์ นักวิทยาศาสตร์ประจำห้อง  
ปฏิบัติการประจำสาขาวิชาคหศัตร์ ภาควิชาการวิภาคศาสตร์ คณะแพทยศาสตร์  
จุฬาลงกรณ์มหาวิทยาลัย ที่ได้ให้คำแนะนำเกี่ยวกับเครื่องมือในการทำการทดลอง  
ตลอดจนเทคนิคในการตัด และซ้อมขึ้นเนื้อ และช่วยอ่านวิเคราะห์ความสอดคล้องต่างๆ ใน  
การวิจัยเป็นอย่างดีเยี่ยม ขอขอบคุณ คุณสุรศักดิ์ สุทัศน์ นักวิทยาศาสตร์ประจำ  
ห้องปฏิบัติการ นิติพยาธิวิทยา ภาควิชานิติเวชศาสตร์ คณะแพทยศาสตร์  
จุฬาลงกรณ์มหาวิทยาลัย และเจ้าหน้าที่ทุกท่านที่ประจำอยู่ที่ห้องปฏิบัติการพยาธิวิทยา  
ภาควิชาพยาธิวิทยา คณะแพทยศาสตร์ จุฬาลงกรณ์มหาวิทยาลัย ที่ได้อ่าน  
ความสอดคล้องในการใช้เครื่อง cryostat เป็นอย่างดีเยี่ยม

ขอขอบพระคุณบัณฑิตวิทยาลัยที่ได้เงินทุนอุดหนุนการทำการวิจัยครั้งนี้ ขอกราบ  
ขอบพระคุณ ปิดา - มารดา และขอขอบคุณเพื่อนๆ ทุกคนที่สนับสนุน และให้กำลังใจ  
กับผู้ทำการวิจัยอย่างดีมากตลอดการทำการวิจัยครั้งนี้

สารบัญ



หน้า

บทคัดย่อภาษาไทย .....	๔
บทคัดย่อภาษาอังกฤษ .....	๕
กิตติกรรมประกาศ .....	๖
สารบัญรูปภาพ .....	๗-๘
คำอธิบายคำย่อ .....	๙
<b>บทที่</b>	
1    บทนำ .....	1-3
2    บริหัศน์วรรณกรรมที่เกี่ยวข้อง	
ความเป็นมาและสาเหตุของโรค Hirschsprung .....	4
enteric nervous system .....	5-14
พยาธิสภาพ ลักษณะทางคลินิก การวินิจฉัย และ	
การรักษาโรค Hirschsprung .....	14-21
ภาวะแทรกซ้อนของโรค Hirschsprung .....	21
การศึกษาทาง histochemistry ของเอนไซม์	
acetylcholinesterase (AChE) ในผู้ป่วย	
Hirschsprung .....	22-25
3    ขั้นตอนและวิธีดำเนินการทดลอง	
วัสดุ และวิธีการ .....	26-27
การอ่านผลการทดลอง .....	27
4    ผลการทดลอง	
รูปแบบการเพิ่มขึ้นของ AChE activity ในผู้ป่วย	
ที่ได้รับการวินิจฉัยว่าเป็นโรค Hirschsprung	

## สารบัญ (ต่อ)

กสุ่มที่ 1(อายุน้อยกว่า 1 เดือน).....	29-31
กสุ่มที่ 2(อายุตั้งแต่ 1 เดือน จนถึง 6 เดือน).....	32-40
กสุ่มที่ 3(อายุตั้งแต่ 6 เดือน จนถึง 3 ปี).....	41-66
5 อภิปราย สรุปผลการวิจัย และข้อเสนอแนะ .....	67-79
เอกสารอ้างอิง .....	80-88
ภาคผนวก .....	89-92
ประวัติผู้เขียน .....	93

ศูนย์วิทยทรัพยากร  
จุฬาลงกรณ์มหาวิทยาลัย

## สารบัญรูปภาพ

ภาพที่		หน้า
1	แสดงเครื่องมือ rectal suction biopsy tube A : cylindrical knife ,      B : central operation wire ,    C : Jackson-Negus handle D : biopsy capsule ,    E : flexible tube , F : suction handle unit , G : side aperture H : longitudinal marker , and S : side arm for connection for suction.....	2
2	แสดงภาคตัดขวางของ neural tube ในตัวอ่อนของ มนุษย์.....	7
3	แสดงระดับของ neural crest ที่เป็นต้นกำเนิดของ enteric ganglia.....	8
4	แสดงรูครงสร้างของผนังท่อทางเดินอาหาร และ การจัดเรียงตัวของ enteric plexus.....	10
5	ภาพตัดขวางผนังลำไส้ของ guinea-pig แสดง ลักษณะการจัดเรียงตัวโดยทั่วไปของ enteric plexus ของลำไส้เล็กในสัตว์เลี้ยงถูกตัวยันนำมารดยทั่วไป.....	11
6	บน : อาการท้องอีดที่ตรวจพบในทารกแรกเกิดที่เป็นโรค Hirschsprung ล่าง : แสดงลักษณะของลำไส้ไข่นูที่ขยายพองออกอย่างมาก เหนือลำไส้ส่วนที่ไม่มี ganglion cells.....	16
7	กราฟแสดงผลของการตรวจผู้ป่วยที่เป็นโรค Hirschsprung ด้วยวิธี manometry.....	19

## สารบัญภาพ (ต่อ)

ภาพที่	หน้า
8 บ'n : แสดงลักษณะของ ganglion cells ที่ตรวจพบใน Myenteric plexus ที่อยู่ระหว่าง circular และ longitudinal muscular coats ในผนังลำไส้ของคนปกติ	
ส'าง : บริเวณที่ถูกครึ้งแสดงรอยต่อระหว่าง circular และ longitudinal muscular coats ของผนังลำไส้ส่วนที่เป็น aganglionic segment ของผู้ป่วย Hirschsprung's disease ซึ่งจะตรวจไม่พบ ganglion cells.....	20
9 แสดงขั้นตอนการท่า AChE-stained in suction rectal biopsy .....	28
10 แสดงรูปแบบการเพิ่มขึ้นของ AChE activity ในชั้นเนื้อลำไส้ใหญ่ของผู้ป่วยราย G1/1 A: ชั้นเนื้อที่ระดับ 2 ซม.	
B: ชั้นเนื้อที่ระดับ 5 ซม.....	30
11 แสดงรูปแบบการเพิ่มขึ้นของ AChE activity ในชั้นเนื้อลำไส้ใหญ่ของผู้ป่วยราย G1/2 A1: ชั้นเนื้อที่ระดับ 2 ซม. B1: ชั้นเนื้อที่ระดับ 5 ซม.	
ของผู้ป่วยราย G1/3 A2: ชั้นเนื้อที่ระดับ 2 ซม. B2: ชั้นเนื้อที่ระดับ 5 ซม.....	31

## สารบัญภาพ (ต่อ)

ภาพที่		หน้า
12	แสดงรูปแบบการเพิ่มขึ้นของ AChE activity ในชั้นเนื้อ ลำไส้ใหญ่ของผู้ป่วยราย G2/1	
	A1: ชั้นเนื้อที่ระดับ 2 ซม.	
	A2: ชั้นเนื้อที่ระดับ 2 ซม.	
	B1: ชั้นเนื้อที่ระดับ 5 ซม.	
	B2: ชั้นเนื้อที่ระดับ 5 ซม.....	33
13	แสดงรูปแบบการเพิ่มขึ้นของ AChE activity ในชั้นเนื้อ ลำไส้ใหญ่ของผู้ป่วยราย G2/2	
	A: ชั้นเนื้อที่ระดับ 2 ซม.	
	B: ชั้นเนื้อที่ระดับ 5 ซม.....	35
14	แสดงรูปแบบการเพิ่มขึ้นของ AChE activity ในชั้นเนื้อ ลำไส้ใหญ่ของผู้ป่วยราย G2/3	
	A1 , A2 ชั้นเนื้อที่ระดับ 2 ซม.	
	A1: แสดง coarse nerve fibers ในชั้น lamina popria และในชั้น muscularis mucosae	
	A2: แสดง thick nerve trunks ในชั้น submucosa ที่ติดกับชั้น muscularis mucosae.....	38
15	แสดงรูปแบบการเพิ่มขึ้นของ AChE activity ในชั้นเนื้อ ลำไส้ใหญ่ของผู้ป่วยราย G2/4	
	A: ชั้นเนื้อที่ระดับ 2 ซม.	
	B: ชั้นเนื้อที่ระดับ 5 ซม.....	39

## สารบัญรูปภาพ (ต่อ)

ภาพที่	หน้า
16 แสดงรูปแบบการเพิ่มขึ้นของ AChE activity ในชั้นเนื้อ ลายเส้นของผู้ป่วยราย G2/5 ที่ระดับ 5 ซม. B1: แสดงการเพิ่มขึ้นของ AChE activity ในชั้น lamina propria และชั้น muscularis mucosae B2: แสดง fine และ coarse nerve fibers ในชั้น lamina propria และ thick nerve trunk ในชั้น muscularis mucosae B3: แสดง thick nerve trunks ที่พบในชั้น submucosa.....	40
17 แสดงรูปแบบการเพิ่มขึ้นของ AChE activity ในชั้นเนื้อ ลายเส้นของผู้ป่วยราย G3/1 A: ชั้นเนื้อที่ระดับ 2 ซม. B: ชั้นเนื้อที่ระดับ 5 ซม.....	43
18 แสดงรูปแบบการเพิ่มขึ้นของ AChE activity ในชั้นเนื้อ ลายเส้นของผู้ป่วยราย G3/2 A: ชั้นเนื้อที่ระดับ 2 ซม. B: ชั้นเนื้อที่ระดับ 5 ซม.....	44
19 แสดงรูปแบบการเพิ่มขึ้นของ AChE activity ในชั้นเนื้อ ลายเส้นของผู้ป่วยราย G3/3 A: ชั้นเนื้อที่ระดับ 2 ซม. B: ชั้นเนื้อที่ระดับ 5 ซม.....	46

## สารบัญรูปภาพ (ต่อ)

ภาพที่	หน้า
20 แสดงรูปแบบการเพิ่มขึ้นของ AChE activity ในชั้นเนื้อ ลายไส้ในผู้ป่วยราย G3/4 ( A , B : ชั้นเนื้อที่ระดับ 2 และ 5 ซม. ตามลำดับ )	
A1: แสดง AChE activity ในชั้น lamina propria และชั้น muscularis mucosae	
A2: แสดง thick nerve trunks ในชั้น submucosa	
B1: แสดง AChE activity ในชั้น lamina propria และชั้น muscularis mucosae	
B2: แสดง thick nerve trunks ในชั้น submucosa. 48	
21 แสดงรูปแบบการเพิ่มขึ้นของ AChE activity ในชั้นเนื้อ ลายไส้ในผู้ป่วยราย G3/5 A: ชั้นเนื้อที่ระดับ 2 ซม.	50
B: ชั้นเนื้อที่ระดับ 5 ซม.....	50
22 แสดงรูปแบบการเพิ่มขึ้นของ AChE activity ในชั้นเนื้อ ลายไส้ในผู้ป่วยราย G3/6 A: ชั้นเนื้อที่ระดับ 2 ซม.	
B: ชั้นเนื้อที่ระดับ 5 ซม.....	52
23 แสดงรูปแบบการเพิ่มขึ้นของ AChE activity ในชั้นเนื้อ ลายไส้ในผู้ป่วยราย G3/7 A1: ชั้นเนื้อที่ระดับ 2 ซม. ท่า biopsy ครั้งแรก	
A2: ชั้นเนื้อที่ระดับ 2 ซม. ท่า biopsy ครั้งที่สอง	
B1: ชั้นเนื้อที่ระดับ 5 ซม. ท่า biopsy ครั้งแรก	
B2: ชั้นเนื้อที่ระดับ 5 ซม. ท่า biopsy ครั้งที่สอง....	54, 55

## สารบัญรูปภาพ (ต่อ)

ภาพที่	หน้า
24 แสดงรูปแบบการเพิ่มขึ้นของ AChE activity ในชั้นเนื้อ ลายเส้นของผู้ป่วยราย G3/8	
A: ชั้นเนื้อที่ระดับ 2 ซม.	
B: ชั้นเนื้อที่ระดับ 5 ซม.....	56
25 แสดงรูปแบบการเพิ่มขึ้นของ AChE activity ในชั้นเนื้อ ลายเส้นของผู้ป่วยราย G3/9	
A: ชั้นเนื้อที่ระดับ 2 ซม.	
B: ชั้นเนื้อที่ระดับ 5 ซม.....	58
26 แสดงรูปแบบการเพิ่มขึ้นของ AChE activity ในชั้นเนื้อ ลายเส้นของผู้ป่วยราย G3/10	
A: ชั้นเนื้อที่ระดับ 2 ซม.	
B: ชั้นเนื้อที่ระดับ 5 ซม.....	60
27 แสดงรูปแบบการเพิ่มขึ้นของ AChE activity ในชั้นเนื้อ ลายเส้นของผู้ป่วยราย G3/11	
A: ชั้นเนื้อที่ระดับ 2 ซม.	
B: ชั้นเนื้อที่ระดับ 5 ซม.....	61
28 แสดงรูปแบบการเพิ่มขึ้นของ AChE activity ในชั้นเนื้อ ลายเส้นของผู้ป่วยราย G3/12	
(A , B : ชั้นเนื้อที่ระดับ 2 และ 5 ซม. ตามลำดับ )	
A1,A2: แสดง AChE activity ในชั้น lamina propria และชั้น muscularis mucosae	

## สารบัญรูปภาพ (ต่อ)

ภาพที่	หน้า
	๙๘
	๖๔
	๖๕
	๖๖
	๖๗
	๖๘
A3,A4: แสดง thick nerve trunks ในชั้น submucosa	๖๓
B : แสดง AChE activity ในชั้น lamina propria .....	๖๔
29 แสดงรูปแบบการเพิ่มขึ้นของ AChE activity ในชั้นเนื้อ ลายเส้นที่ผู้ป่วยราย G3/13 (A , B : ชั้นเนื้อที่ระดับ 2 และ 5 ซม. ตามลำดับ )	๖๕
A1: แสดง AChE activity ในชั้น lamina propria	๖๕
A2: แสดง coarse nerve fibers ในชั้น lamina propria และ thick nerve trunks ในชั้น submucosa	๖๕
B1,B2: แสดง AChE activity ในชั้น lamina propria และชั้น muscularis mucosae .....	๖๖
30 แสดงรูปแบบการเพิ่มขึ้นของ AChE activity ในชั้นเนื้อ ลายเส้นที่พบในผู้ป่วยกลุ่มที่ 1 (G1) ที่มีอายุน้อยกว่า 1 เดือน.....	๖๗
31 แสดงรูปแบบการเพิ่มขึ้นของ AChE activity ในชั้นเนื้อ ลายเส้นที่พบในผู้ป่วยกลุ่มที่ 2 (G2) ที่มีอายุตั้งแต่ 1 เดือน จนถึง 6 เดือน.....	๖๘

### สารบัญรูปภาพ (ต่อ)

ภาพที่		หน้า
32	แสดงรูปแบบการเพิ่มขึ้นของ AChE activity ในชั้นเนื้อ โลหะในเด็กที่พบรอยส์บ่วยกสุ่มที่ 3 (G3) ที่มีอายุตั้งแต่ 6 เดือน จนถึง 3 ปี.....	70
33	แสดงแผนภาพของ Puri และ Fujimoto (1988) ที่ใช้ ในการวินิจฉัยแยกโรค Hirschsprung และโรคอื่นๆ ที่มีอาการคล้ายคลึงกัน.....	79

**ศูนย์วิทยาศาสตร์พยาบาล  
จุฬาลงกรณ์มหาวิทยาลัย**

### คำอธิบายกายอวัยวะสัญญาณยั่งยืน

LP	lamina propria
MM	muscularis mucosae
SM	submucosa
↖	fine nerve fiber
↗	coarse nerve fiber
◀	thick nerve trunk

ศูนย์วิทยาธารพยากร  
จุฬาลงกรณ์มหาวิทยาลัย